

241
內 部
參考資料

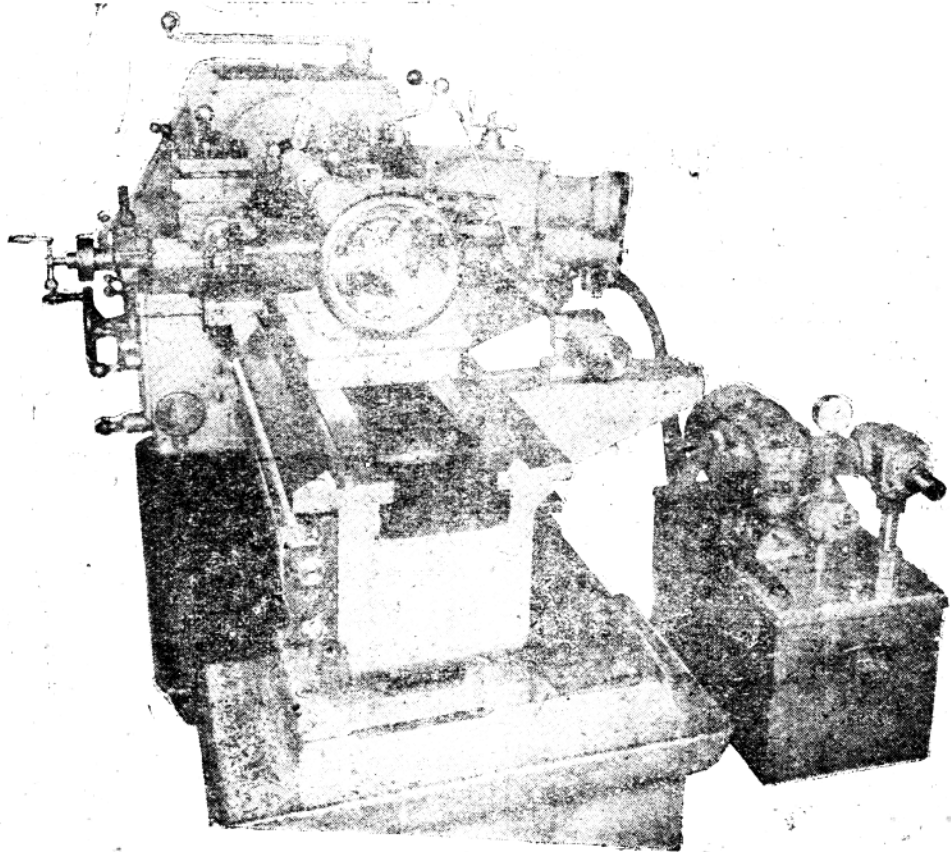
車床液壓仿形裝置

「T-3液壓仿形刀架的設計製造與使用總結」

第 55 期

第一機械工業部機械科學研究院

1960.2. 北京



序 言

近几年來，世界机器制造业的重要发展趋势之一，就是愈來愈多地要求采用自动化或半自动化來对具有各种外形的零件进行加工，以提高劳动生产率。

在大量大批生产中，~~采~~用自动及半自动机床，其优点是很明显的，但这些机床一般說來成本較貴，而当工作改变時所需之調整時間很长，因此，对小量或小批生产是不利的。

非自动的万能机床是单件、小量或小批生产的主要设备，同时也是很多机械制造厂的主要设备，万能机床的最大优点是对工作的适应性大，但缺点是輔助時間多，生产率低，因此使万能机床自动化，以便克服上述缺点，将具有很大意义。在万能机床上应用一套液压仿形裝置后，不仅万能机床本身的特性仍可保留，而且在工作性質上可使其十分接近半自动机床，提高机床的生产率，而所需費用只等于新購一台半自动机床价格的百分之几。

我院承担这一課題后，設計了TT-3車床液压仿形裝量，設計对象为上海市机床制造公司生产111D車床（中心高180毫米），原則上以附件的形式出現。

58年年底于明精机器厂試制成功，翌年7月在上海机械厂对TT-3液仿刀架进行較全面的試驗，限于当时的条件是在一台精度很差，鑑定未能通过的111D車床上进行的。試驗結果，仿形精度值为±0.05毫米，光洁度可达▽▽6。誠然，机床的精密与否，不可避免地将影响仿形刀架的精度，因此，如果在精密机床上进行仿形車削，則仿形精度还能提高。

对于一般零件，如果精度要求高者，常須在車削后留磨余量再行磨削加工，这种磨余量一般为0.2—0.6毫米，所以上述仿形車削所得精度已完全能够滿足生产上的需要。

机械科学研究院第五处

目 录

一、設計部分.....	(1)
(一)結構之選擇.....	(1)
(二)油路系統.....	(4)
(三)主要參數的計算.....	(9)
(四)一些設計問題.....	(13)
(五)YT-3液壓仿形系統特性表.....	(17)
二、製造部分.....	(18)
(一)隨滑伐的製造工藝過程.....	(18)
(二)油缸及活塞的製造工藝過程.....	(20)
三、使用說明.....	(21)
(一)可加工範圍.....	(21)
(二)樣模形狀及材料.....	(22)
(三)刀具.....	(22)
(四)切削舉例.....	(23)
(五)機床調正及基本操作法.....	(24)
(六)仿形刀架工作時的故障及其消除辦法.....	(25)
四、結構上一些問題的討論.....	(25)
五、附錄.....	(27)
(一)圖紙.....	(28)

TT-3液壓仿形刀架的設計 制 造 與 應 用 總 結

上海機械廠
機械科學研究院第五處

一、設計部分

(一)結構之選擇：

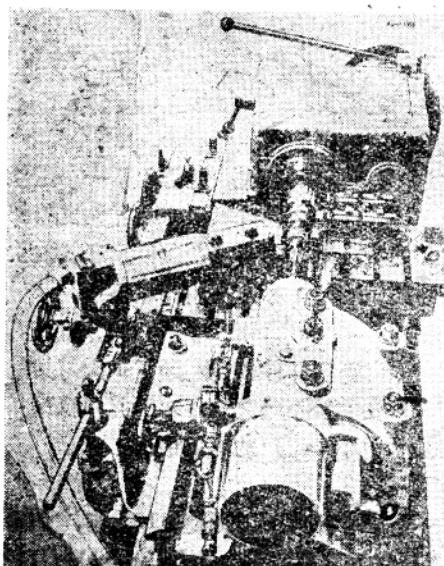
車床液壓仿形刀架的結構，形式很多。一般在結構的設計上須考慮下列諸問題：

1. 刀架的前后布局；
2. 样件或样板；
3. 支架的高低位置；
4. 刀架的安装角度和裝刀数量；
5. 車刀縱向和橫向位置的調正方法。

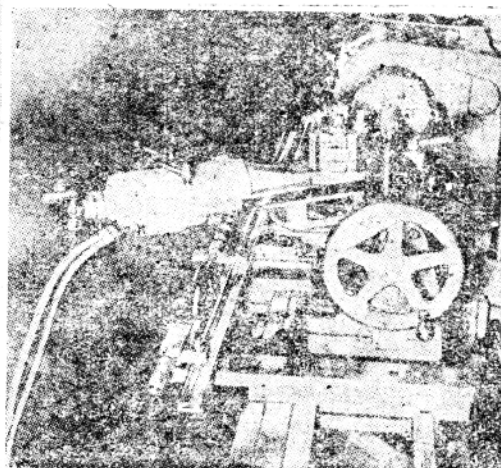
各種不同的結構都有其優點，也有不足之處，設計時須根據机床本身的特点及工作需要，加以選擇。

1. 刀架的前后布局：

將刀架布置在車床前方的稱為前布局，在後方的稱為後布局。在前布局者，其優點是結構緊湊，車刀可以和一般的正裝安裝，工人操作上較習慣，調正亦方便；其缺點是安裝樣件較難，一般只能使用樣板仿形。後布局者，和前布局相反，其主要優點是可以同時採用樣件及樣板仿形，靈活性大，對產量批數較少，而樣板製造工作能力低的小型



图一、Heinemann仿形刀架。



图二、Oerlikon仿形刀架。

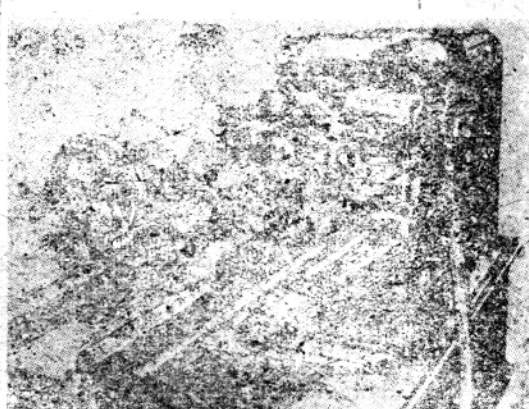
工厂，較为合适；其缺点是操作及調正不大方便。

国外采取前布局者有苏联ГС-1，捷克SV-18B（KZ-15），西德Heinemann，（图一）；瑞士Oerlikon，我国大连机床厂ГК62仿形刀架等。

采取后布局者有苏联KCT-1，捷克IKS，（图三），西德Martin，（图四）等。



图三、IKS 仿形刀架。



图四、Martin 仿形刀架。

本設計采取后布局的形式（見封面）。主要是便于采用样件仿形，同時稍加改进，也可用样板仿形，适于国内一般中小工厂在小批生产之需要。

2. 样件及样板：

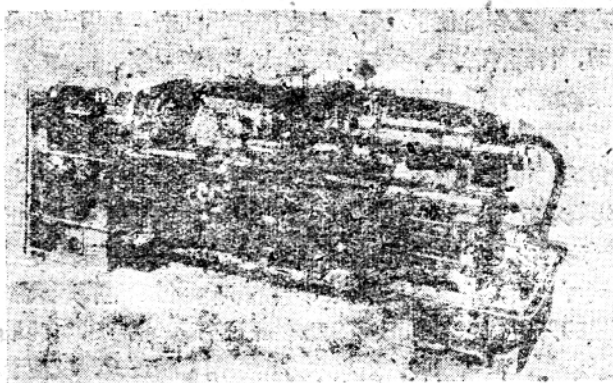
采用样件仿形，其最大优点是使用灵活，省却制造样板的工作，且能用第一个工件作为样件，对小批生产及工具车间能力較薄弱的工厂，最为方便；其缺点是样件支架較大，結構較复杂，一般不便于采用前布局的結構，其次，对表面有复杂曲綫及形状的工件，样件制造有困难，而采用样板則易解决，在端面仿形時，亦非采用样板不可。

样板的优缺点和上述相反。

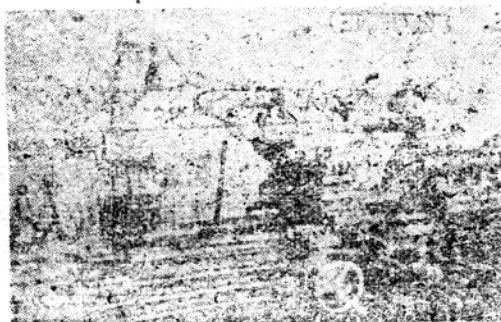
一般仿形刀架，前布局者采用样板較多，后布局者則用样件較多，为了扩大刀架的使用范围，近來在設計上，趋向二者能同時采用，以互弥补不足之处，本設計中以采用样件为主，同時也考虑安装样板的可能性，以便适于中小型工厂的需要情况。

3. 支架高低位置：

采用后布局样件仿形時，样件安装的位置，一般在机床的下方如捷克IKS等，但也有装在机床上方的，如西德WPK-500，（图五）苏联IA62，（图六）美国Pacemaker（图七）。



图五、WPK—500仿形刀架。



图六、1A62 仿形刀架。



图七、American Pacemaker仿
形刀架。

样件装在机床上方者，工作时便于观看，但支架结构复杂，且因支架悬臂较长，刚性不足，机床的振动，传到样件时，震幅有所扩大，精度较差。

本方案采用低支架位置者，取其结构简单，刚性較佳之故。

4. 刀架安装角度与装刀数量：

仿形刀架之安装角度，可做成調正式及固定式二种。刀架的安装角，苏联 KCT-1, GC-1 为 45° ，德国 EDK 为 45° ，捷克 IKS, KZ-15 为 60° ，其他资本主义国家之仿形刀架， 45° , 55° , 60° 均有之，按仿形原理，用 45° 时，工件的外圆表面及端面的走刀相同，因而表面光洁度可一致，适于車正錐及 90° 阶梯軸，但油缸行程只能利用 70%，安装角为 60° 則可利用 80%，在仿形有正反錐及球面工件時，則以 90° 为最佳。可調正式者对各种工件均便于車制，但結構較，复杂本方案采用可調正式，以便于根据工件的形状，而采用适宜的安装角。

刀架上装刀数量，IKS, EDK, KCT-1，均为单刀，KZ-15 用快换刀夹 GC-1, American Pacemaker 为四方刀架。本方案，采用四方刀架，装二把刀，作粗切及精切。从上海机床厂及汽輪机厂的經驗，證明有此必要。

5. 刀尖与触头横向位置的調正，（吃刀調正）。

現有四种方法：

(1)、調正滑伐位置。如 IKS, KZ-15，优点是調正絲槓不受切削力，精度好，但調正不便，且滑伐与油缸連接面上，密封較难。

(2)、用刀架絲槓調正，为EDK等；本方案用此法，优点为設有粗切調正器，当刀架位置为 45° 时，絲槓調正之距離，即为吃刀之数量，而不影响軸向的位置，較为方便，但絲槓受切削力的影响，在設計中采取加粗絲槓直徑的方法补救之。

(3)、用橫拖板絲槓調正。此为最佳的方法，GC-1, Copymat, Martin, Oerlikon 等均用此法，优点是可省却刀架的調正機構，較简单，操縱亦便，但一般以样板及样件支架能隨刀架移动者，方能达到。

(4) 調正滑伐的触头，如匈牙利 EU215，但因位置不便，調正時較难控制，用者較少。

6. 刀尖軸向位置的調正。

刀尖对样件軸向位置調正的方法，KZ-15 可調正触伐位置，American Pacemaker 可用螺杆調正車刀的軸向位置。而 EDK, GC-1 等則以調正支架頂尖位置。本方案以調正頂尖的方法，以其結構較简单之故。

(二) 油路系統：

1. 单边与双边的选择：

一般液压仿形装置控制滑伐的結構有单边式，双边式，四边式等三种，在車床的液压仿形刀架中，多数为单边和双边二种，四边式因構造較复杂，制造困难，而单边和双边式已能滿足一般需要，因此，四边式很少应用，四边式一般用在銑床仿形以及对精度和稳定性有更高要求之处。

在液压仿形裝置中，最重要的工作特性是（1）跟隨精度——灵敏度，（2）仿形精度，及仿形尺寸精度，（3）仿形速度，以及（4）負荷剛度——稳定性等。其中

尤以跟随精度为仿形装置的主要特性代表，跟随精度的大小决定于仿形系统的运动灵敏度和刚度。从国外一些资料分析，一般认为从运动灵敏度方面比较，单边优于多边；而从刚度上则双边优于单边，单边系统容易产生振动。从国内一些单位的试验及分析，所得结论，也不一致，但总的，单边系统在工作中的情况，不及双边系统。上海汽轮机厂曾用单边系统，精度为0.08毫米，改用双边后为0.05毫米；北京第一机床厂用单边时车削阶梯轴，在过渡过程中产生振动，而双边系统则较佳。单边系统的结构较简单，制造容易，而且缝隙不易为油污所堵塞，是其优点，但目前双边系统在制造上已无甚困难，在适当的工艺过程及工艺装备的帮助下，已能达到一般的技术要求。

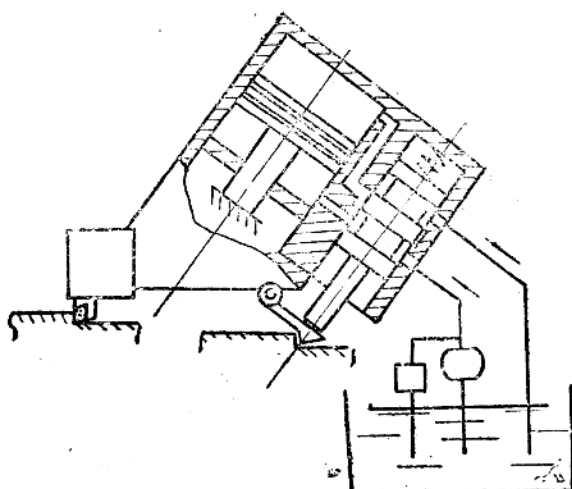
本设计采用双边控制伐，差动式油缸的油路系统，其主要原因是在满足一般精度要求下，提高系统工作刚度，以适应于半精度车及粗车削工作。

2. 正接与反接的选择：

从滑伐和油缸的位置和运动方向，油路系统分为正接和反接两种结构：

(1) 在正接中(如图八)滑伐和触杆的运动方向相同，当车制阶梯形工件时，触杆后退、滑伐杆也后退，压力油从缝隙进入油缸的大油室中，大油室和排油管被隔断，油缸后退，刀具也后退，由于油缸体后退，和油缸体在一起的伐体也后退，这种机械反馈的作用，关闭了滑伐的缝隙，逐渐达到新的平衡位置，当切削力大时，刀架变形向后退缩，大油室通向油池的间隙被开启，压力降低，因而刀架产生向前的作用，克服切削力而保持平衡位置，这种结构使得刀架的刚性增强。

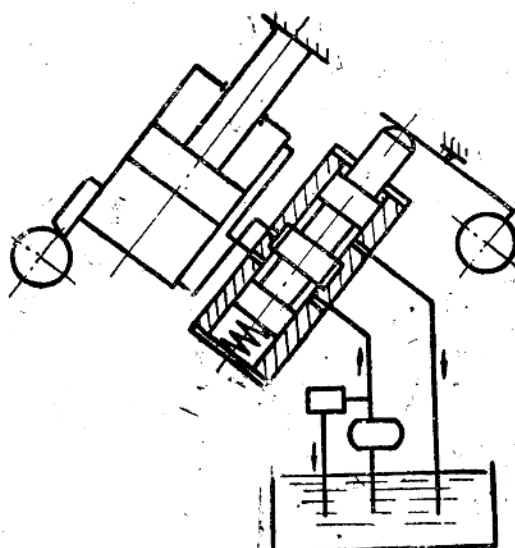
图八、正接油路系统。



(2) 在反接中(如图九)滑伐和触杆的运动方向相反，当滑阀在弹簧力作用下后退时，大油室与压力油相通，因而刀架前进；反之亦然。

在切割負荷增大時，刀架受力後退，此時大油室與高壓通路反而減小，而與回油管通路增大，因而大油室降壓故這種接法此時剛性反減低。

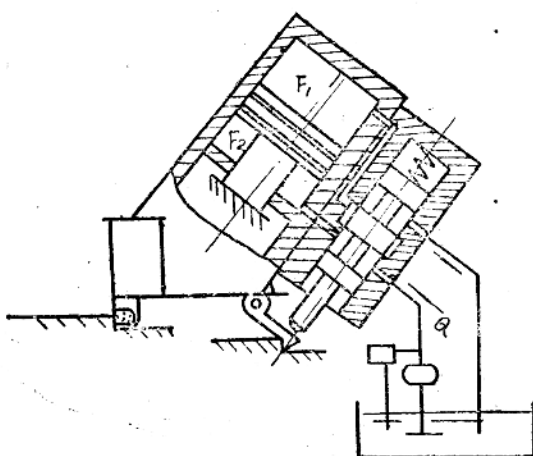
本方案中採取正接的方法。



圖九 反接油路系統

3. 工作油缸為大油室抑為小油室。

工作油缸為大油室和小油室的結構如圖十和圖十一。

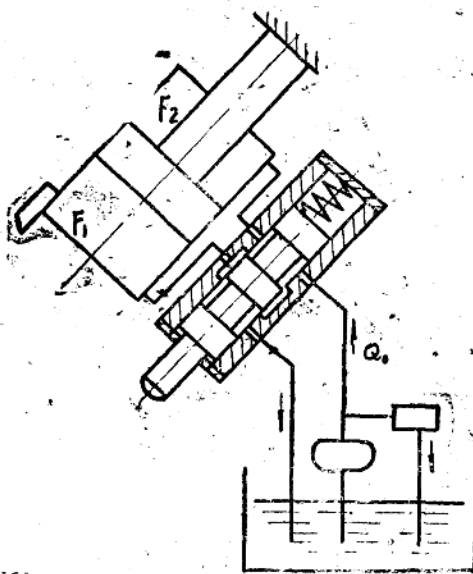


圖十、工作油缸為小油室。

(1) 从刀架向前移动及后退的速度上分析：

設刀架向前移动之速度为 V_1

刀架向后移动之速度为 V_2



图十一 工作油缸为大油室

A. 在工作油缸为小油室時， $V_{1\max} = \frac{Q_0}{F_2}$ (1)

$V_{2\max} \times F_1 = Q_0 + V_{2\max} \times F_2$ (2)

可得： $V_{2\max} = \frac{V_{1\max} \times F_2}{F_1 - F_2}$ (3)

B. 在工作油缸为大油室時，則 $V_{1'\max} = \frac{Q_0}{F_2}$ (4)

$V_{1'\max} \times F_1 = Q_0 + V_{1'\max} \times F_2$ (5)

可得： $V_{1'\max} = \frac{V_{1\max} \times F_2}{F_1 - F_2}$ (6)

由上式(3)及(6)得知：當 $F_1 = 2F_2$ 時。

$V_{2\max} = V_{1\max}$ $V_{2'\max} = V_{1'\max}$

二者既相等，則兩式的效果亦同。但當 $\frac{F_1}{F_2} = \frac{4}{3}$ 時則圖十的結構，由(3)式得

$V_{2\max} = 3V_{1\max}$

而图十一的結構由(6)式得知 $V_{1,\max} = 3V_{2,\max}$

按生产需要，当车阶梯轴时， V_1 即后退速度应大，至于切削球面时，即正鏠及倒鏠均有時，宜使 V_1 較大。据濟南机床厂資料，阶梯轴一般占比重为80%，故从移动速度方面考慮，以小油室为工作油缸較合宜。

(2)、从机械刚性方面分析：

图十一之結構，其固定活塞板較長，拖板上的外悬量較大，故不及图十之結構，因此FT-3采用以小油室为工作油缸。

4.大小油室之面积比为4/3：

其原因为(1)当活塞直徑为Φ80時，若 $F_1/F_2=2$ 時，活塞杆的直徑为Φ56，而油缸蓋內徑向仅剩12毫米，在其中須装緊固螺釘，密封圈等，太過拥挤，故 F_1/F_2 用 $\frac{4}{3}$ ，使活塞杆直徑为Φ40，解决了結構的問題。

(2)采用 $F_1/F_2=\frac{4}{3}$ 較之 $F_1/F_2=\frac{2}{1}$ 時，在相同油缸尺寸下，有效工作面增大了，因而允許的切削力也增大。

(3)为了保证获得某一定值之彷形刀架后退速度，当采用 $F_1/F_2=\frac{4}{3}$ 時，較之 $\frac{2}{1}$ 時，所需油泵流量較少。

5.油缸中之防气及防漏：

彷形裝置中常发生空气进入油缸之事，上海汽輪机厂仿EDK，D-40，东德Stulmanu公司之Copymat均在油缸上裝放气孔，以為补救。沈阳第一机床厂仿IKS者使油通到缸的上部，以驅除空气，本方案起先亦采用此法，但在實際使用中发现不可靠，后改在油缸上裝放气孔以驅除空气。

防漏为彷形精度之决定因素之一，D-40，上海机床厂，上海汽輪机厂均用滑配合，但上汽有环状槽以減压，沈阳仿IKS用橡皮环，但供应有困难，上海机床厂試用金属活塞环，则工作油室，液压显著提高，本方案亦采用金属环，以降低对油缸的加工要求，使用情况，极为良好，只要活塞环在装进油缸后，接缝处的間隙，选择适当，对漏油的密封及运动灵活性，均甚合适。

6.触杆的結構：

从 A.推力与拉力，B.輕与重二方面比較之。

A.推与拉：一般触杆均受推力，本方案也如此，但IKS式，因样件在滑伐之后端，故触杆受拉力，而采用之軸旋轉式，沈阳第一机床厂仿IKS即系如此，大连及濟南机床厂的触杆仍用臥軸旋轉式，使油路反接，故触杆只受挤压压力，制后使用尚可以。如果应用反接油路，则大连及濟南第一机床厂之結構較为简单。

B.触杆的材料，上海汽輪机厂用鑄鋁，輕而刚性强，甚為满意。捷克什志亦强调刚性之重要，大连机床厂用鉄鋼，虽較重但无大碍，故以刚性为主。

7.触杆的支承：

触杆支承的結構，对工作的灵敏度影响很大，支承上的徑向間隙或过大的摩擦力，均使触杆动作不灵敏，造成大的彷形誤差，尤其在車阶梯轴時，在阶梯变化处，滑伐灵敏性降低甚大。采用滾珠軸承結構時，軸承上有間隙存在，采用滾珠支承，如不加弹簧压紧，则支承磨擦力不易調正。捷克IKS彷形刀架采用二对交叉放置的弹簧，当触头受力

式中 C_{px}, C_{py} —— 表徵被加工金屬和其他加工條件的系數。

X_x, X_y, Y_x, Y_y —— 切削深度和走刀量的指數：

$K_{mx} = 0.81$) 加工材料修正系數。

$K_{my} = 0.76$)

根據НИБН МСС和ЭСМ第七冊的数据：

$C_{px} = 80 \quad X_x = 1.2 \quad Y_x = 0.65$

$C_{py} = 123 \quad X_y = 0.90 \quad Y_y = 0.75$

代入得：

$$P_x = 80 \times 4^{0.2} \times 0.65^{0.65} \times 0.81 = 258 \text{ 公斤}$$

$$P_y = 123 \times 4^{0.1} \times 0.65^{0.75} \times 0.76 = 235 \text{ 公斤}$$

$$P_N = P_x \cos 45^\circ + P_y \cos 45^\circ = 258 \times 0.707 + 235 \times 0.707 = 349 \text{ 公斤。}$$

上述切削抗力計算對於IIID車床來說是偏高的。主要是考慮到利用液仿刀架上之粗切裝置進行粗切。在考慮摩擦力後取 $P = 400$ 公斤。

2. 最大移動速度 V_{max} 之確定

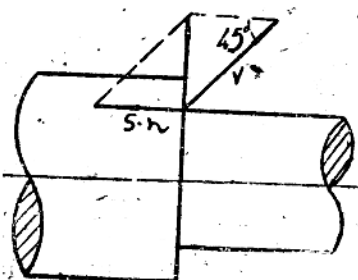
設進行半精加工，光洁度 $\nabla \nabla 4$ ，切刀刀尖圓弧半徑 $r=1$ 毫米，工作直徑 $D=40$ 毫米。

當切削速度 $V=160$ 米/分時，走刀量 $S=0.65$ 毫米/轉，(B.A. 阿爾申諾夫等著金屬切削學，表35)。

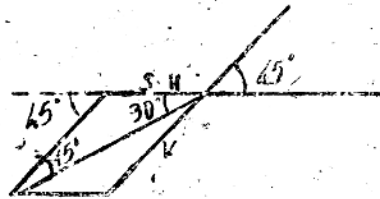
主軸轉數為：

$$n = \frac{1000 \cdot V}{\pi D} = \frac{1000 \times 160}{\pi \times 40} = 1270 \text{ 轉/分。}$$

111D車床主軸最高轉速為 $n=1200$ 轉/分



图十四、



图十五、

(1) 當靠模油缸放置 45° ，車削階梯軸時 (圖14)

$$V = \frac{S \cdot n}{\cos 45^\circ} = 0.65 \times 1200 \times \sqrt{\frac{1}{2}} = 1100 \text{ 毫米/分。}$$

(2) 當靠模油缸放置 45° ，車削 $\beta = -30^\circ$ 之倒錐 (圖15)。

$$\frac{V}{\sin 30^\circ} = \frac{S \cdot n}{\sin 15^\circ}$$

$$\therefore V = \frac{S \cdot n \cdot \sin 30^\circ}{\sin 15^\circ} = \frac{0.65 \times 1200 \times 0.5}{0.259} = 1500 \text{ 毫米/分。}$$

故选取 $V_{max} = 1500 \text{ 毫米/分。}$

3. 活塞直径：

$$\text{由(1)表 1 取 } \frac{P_H \cdot F_1}{P_{max}} = 1.8$$

其中 1.8 是安全系数，考虑另一端油缸的反压力、惯性力等，式中 P_H —进入油路系统之压力。

F_{max} —油缸工作力。

F_2 —承受工作力一边油缸有效面积。

$$\frac{20 \times F_2}{400} = 1.8 \quad \text{则 } F_2 = \frac{1.8 \times 400}{20} = 36 \text{ 厘米}^2$$

$$\frac{F_1}{F_2} = \frac{4}{3} \quad \therefore F_1 = \frac{4 \times 36}{3} = 48 \text{ 厘米}^2$$

$$\text{活塞直径 } D_1 = \sqrt{\frac{4}{\pi}} = 78.8$$

$$\text{取 } D_1 = 80 \text{ 毫米, 此时 } F_1 = \frac{\pi (80)^2}{4} \approx 50 \text{ 厘米}^2$$

设活塞杆直径 D_2

$$\frac{\pi D_2^2}{4} = \frac{1}{4} F_1 = \frac{1}{4} \times \frac{\pi (80)^2}{4}$$

$$\therefore D_2 = 40 \text{ 毫米}$$

4. 计算系统稳定系数：

$$\text{由(2) } C_e \leq 940 \sqrt{\frac{F}{HG}}$$

式中 F —活塞面积，厘米²。

H —油缸最大行程，厘米。

G —移动部件重量，公斤 $G = 40$ 公斤。

$b = \pi d$ 厘米 d —滑阀直径。

i —横杆比 由设计定得 $i = 1$ 。

μ —油液通过滑阀开隙流量系数，取 $\mu = 0.72$ 。

γ —液体密度，取 $\gamma = 0.0009$ 公斤/厘米³

m —油缸有效面积比 $m < 1$ 。

g —重力加速度, $g = 981$ 厘米/秒²。

$$\therefore C_o \geq 940 \sqrt{\frac{50}{7.5 \times 40}} = 384$$

5. 計算滑閥直徑:

$$\text{根据公式 } C_o = \frac{bi\mu}{F} \sqrt{\frac{2g}{P}} (\sqrt{m} + \sqrt{1-m})$$

$$\sqrt{m} + \sqrt{1-m} = \sqrt{\frac{3}{2}} + \frac{1}{2} = 1.366$$

$$\therefore C_o = 384 = \frac{b \times 0.72}{50} \sqrt{\frac{2 \times 981}{0.0009} \times 20 \times 1.366} = 130b$$

$$\therefore b = \frac{384}{130} = 2.95$$

$$\therefore d = \frac{2.95}{\pi} = 0.94 \text{ 厘米} = 9.4 \text{ 毫米。}$$

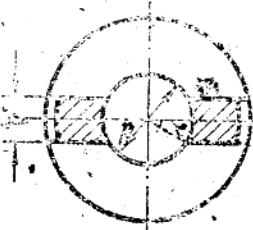
由于采取的閥套結構形式只有在部分控制邊緣上通油(图十六)。

例如当 $d = 16$, $A = 8$ 时 $\alpha = 30^\circ$

因此若考慮到閥套只有 $360 - 4 \times 30^\circ = 240^\circ$

通油, 則 d 应为:

$$d = 9.4 \times \frac{360}{240} = 14.1 \text{ 毫米}$$

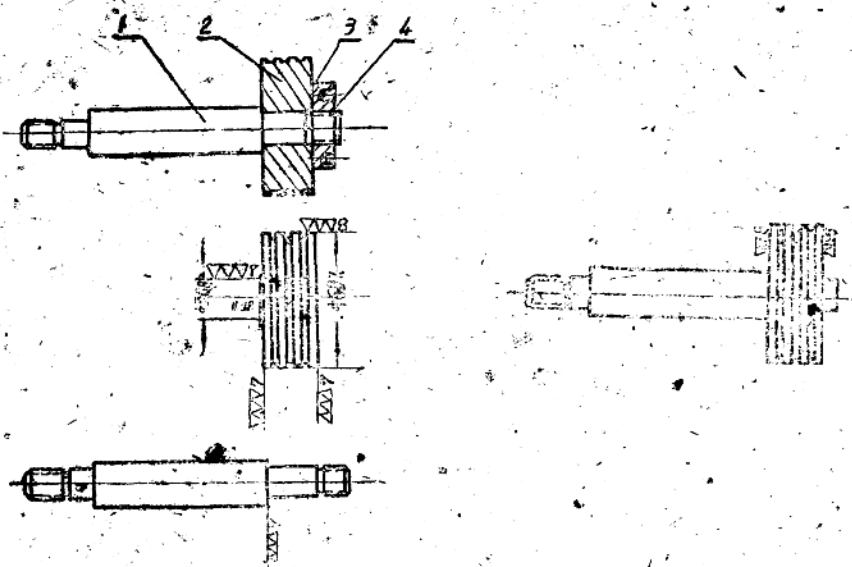


在原設計時假設 $G = 25$ 公斤于是 $C_o = 940 \sqrt{\frac{50}{7.5 \times 25}} = 485$ 由此算得之 $d = 19.1$ 。可見 G 之值及閥套通油面之大小, 使求出之 d 差別很大。試制過程中, 分別采用 $d = 16, 20$ 毫米以便試驗比較, 求出結論。曾作了兩套控制滑閥作試驗, 一為 $d = 16$ 毫米預開口量 $\delta_0 = 0.03$ 毫米, 另一為 $d = 20$ 毫米, 預開口量 $\delta_0 = 0.0125$ 毫米, 試驗結果 $d = 16$ 毫米之滑閥較為滿意, $d = 20$ 毫米之滑閥精度反而差。

(四) 一些設計問題。

1. 活塞結構

关于活塞与活塞杆之連接，可以分开來制造（图十七）也可以做成整体（图十八）。



图十七、活塞和塞杆分开結構。

图十八、整体式活塞。

分开來制造的主要优点是备料容易。因为如果活塞杆做成整体的話，理想的毛坯应为鍛件。但一般制造厂不一定設有冶鍛设备，因此以鍛件为毛坯还有一定困难。如果采用整条的棒料車出，则浪费材料，同时又很不經濟。

但分开來制造也有很多缺点：首先，对于活塞以及活塞杆之相互配合表面，必須按一定要求制造。例如对于活塞的要求：孔 $\phi 30A$ 須与端面垂直，允差0.02，而二端面則須磨过，同样对于活塞杆上作为支承活塞之园柱面及端面均需正确地加工过。如果修改成整体的結構，这样可省去許多工序，使加工大大简化。第二，如果改成整体結構，简化了装配時手續，节省了装配時間。此外，还省去了用來压紧活塞所用之鎖紧螺母等另件。

综合以上所述，对于进行单件試制或小批生产而又缺少冶鍛设备的工厂，可采用分开式。此外，在一般場合，則以做成整体式为宜。

2. 密封装置

防漏为仿形精度之决定因素之一，在密封不好的情况下，会产生很大的油液漏損，而不合理的密封能引起很大的摩擦，影响仿形刀架的灵敏度。本节主要談談油缸前后腔之間的密封（活塞与油缸的配合处）。

目前国内外車床液压仿形刀架之工作油压，一般小于40大氣压，最大移动速度不超

过1500毫米/分，其密封大体采用三种形式。

(1) 不应用特殊的密封装置，而依靠活塞与油缸具有良好的配合来防漏(研配)。这种结构通常在活塞上车有环状槽(图十五)形成Labyrinth填箱，使流体经过通路突然膨胀及缩小，以降低压力减少漏洩。上机、上汽、济南一厂所制液压仿形刀架采用此种结构。



优点：a) 不需使用特殊的密封装置。

b) 摩擦阻力最小。

缺点：a) 对于油缸和活塞要求高的制造精度和光洁度，一般需制成一级精度。

b) 磨损后不能补偿。

(2) 采用橡皮环，通常以圆断面之密封圈最为多

图十九、研配活塞。见，由特殊耐磨损橡胶所做成。采用此种密封装置者有如沈阳一厂仿IKS，苏联KCT-1，ГСД-41等。

优点：a) 对于油缸和活塞的制造要求较低，一般用三级精度即可。

b) 密封性能良好。

缺点：a) 在运动时的摩擦力很大，因此影响仿形刀架的灵敏度。

b) 供应有困难，一般需自行制造模子然后到橡胶厂去压制。

(3) 采用金属活塞环，这种活塞环市场上有得供应，采用这种密封装置者有如捷克KZ15，本设计亦采用之。

这种密封装置的优缺点，一般说来介于前述二者之间，与第一种相比具有以下主要优点：

a) 由于采用了金属活塞环，可降低对油缸的加工要求，一般制成二级精度即可。

b) 磨损后可更换金属活塞环。

与用橡皮环比较，主要优点为在运动时的摩擦力较小，这点对于液压仿形刀架来说，有着很大的意义，因为摩擦力之大小将直接影响着仿形刀架的灵敏度。

此外，也有将上述数种防漏方式同时应用，例如大连机床厂仿IKS采用活塞环及橡皮圈综合使用。

今以三种不同形式的密封装置，就试验所得之仿形刀架静不灵敏度加以比较：(图二十)。

(1) 第一种密封装置(研配)——以济南一厂制C616车床仿形刀架为例。

p (大气压)	20	18	15	12	10	5
h (公微)	7	8	11	14	17	38

表中 h——工作油压

h——静不灵敏度